

IV-270

## 衛星リモートセンシングデータを用いた土地分級評価モデルにおける 分級評価要因の選定方法について

東京理科大学 正会員 大林 成行

東京理科大学 正会員 藤田 圭一

東京理科大学 正会員 小島 尚人

○東京理科大学 学生員 大庭 将宣

1. はじめに 最近の衛星データの利用動向を見ると衛星データを単独で利用するというよりも、数値地形モデルから得られる情報や地形、地質、土壤といった国土に内在する情報を融合利用することによって、土地利用計画、農地振興計画、緑化計画等、国土の面的な調査、計画分野への実用化研究がさかんに行われるようになってきた。諸外国ではG I Sとリモートセンシングを有機的に結び付けて利用し、種々の付加価値のある情報を抽出する研究が見られる<sup>1)</sup>。このような衛星データの利用動向を踏まえて、著者らは国土の面的な評価手法として、土地利用基本計画を様々な視点から支援する「土地分級評価手法」に着目して研究を展開してきた。その結果、衛星リモートセンシングデータや地形、地質、土壤といった種々の情報を潜在因子として定義し、数量化II類およびミニマックス2群判別手法を中核とした「潜在因子モデル」を開発した。しかし、このモデルでは分級評価項目を説明できると考えられる因子をあらかじめ設定した上で処理を行うことから、適切な潜在因子（一般には分級評価要因と言われる）を選定するといった点については十分とは言えない。そこで本研究では数量化III類を導入し、潜在因子間の関連性を分析するとともに分級評価を行う上で適切と考えられる潜在因子を選定するアルゴリズムを組込んだので、その内容について報告する。

2. 数量化III類の適用概念 潜在因子モデルの詳細については参考文献2)に述べてあるので割愛するが<sup>2)</sup>、潜在因子モデルでは数量化II類を通じて算出される偏相関係数によって分級評価項目とあらかじめ設定した潜在因子間の関係を分析することができる。しかし、潜在因子間のみの相関関係やデータ構造の分析については十分とは言えない。数量化II類を使用する場合、理論の上では互いに相関の高い潜在因子があると分析精度が低下することがよく指摘される。そこで、本研究では潜在因子モデルに数量化III類を組んでこの点に対処した。数量化III類ではあらかじめ選定した潜在因子間の相関係数を算出し、高い相関を示す潜在因子の組を見い出す。このうち、数量化II類で算出した偏相関係数の小さい方の潜在因子を削除し、以降の処理に用いる潜在因子を残す。

### 3. 設定する潜在因子の違いに伴う的中率の変化

(1) 検討ケース 潜在因子モデルではミニマックス2群判別手法を用いて、目的とする評価項目に対する「適・不適」といった2つの判別結果を基に分級評価を行う。この判別精度を表す的中率は、設定する潜在因子の違いに伴って変化する。そこで、本研究では次の検討ケースを設定して的中率の変動を調べた。

ケース1：前述した数量化II類と数量化III類の分析を通して設定した潜在因子を用いた場合の的中率

ケース2：ケース1と比較するためにあらかじめ選定した潜在因子を用いた場合の的中率

(2) 処理結果および考察 本研究では農地の保全・開発といった土地利用計画では最も基本とも言える「畠地適性評価」をテスト評価主題として設定した。ケース1の検討として、まず数量化III類を用いてあらかじめ設定した潜在因子間の相関係数を算出し

た結果を表-1に示す。表中、相関係数が高いものについて枠で囲ってある。この時、畠地適性の「有・無」を外的基準として数量化II類によって分析した結果を表-2に示す。表-1で枠を囲った組合せのうち、表-2の偏相関係数の順位の高いものを採用すると、地形分類、表層地質、標高因子が削除される。他方、起伏量

表-1 数量化III類による相関係数の算出結果

	衛星	土壤	傾斜区分	標高	斜面方位	地形分類	起伏量	表層地質
衛星データ	—							
土壤	0.606	—						
傾斜区分	0.397	0.245	—					
標高	0.725	0.508	0.535	—				
斜面方位	0.468	0.603	0.191	0.491	—			
地形分類	0.548	0.864	0.827	0.575	0.640	—		
起伏量	0.415	0.253	0.001	0.540	0.225	0.747	—	
表層地質	0.325	0.001	0.346	0.329	0.819	0.892	0.001	—
谷密度	0.061	0.063	0.101	0.105	0.108	0.103	0.093	0.074

因子は、地形因子が除去されるので残される。残された6つの潜在因子を用いてミニマックス2群判別を行った結果がケース1に対応し、図-1(a)のようになる。また、図-1(b)は表-2で示したすべての潜在因子を用いた場合の処理結果であり、ケース2に対応する。ケース1とケース2では数量化された個体の分布状態に大きな違いは見られない。

ケース1の的中率は84.1%であり、ケース2の83.4%より

0.7%高い。この違いは分級評価図上でケース1の方が適地として判別される画素数が10画素程度少なくなる程度であり、ケース1とケース2での有意な差はないと言える。また、個体の分布状態は正規分布に従っていないことから、的中率の有意差検定を行うことは信頼性の点で得策ではない。

現実問題として分級評価項目を説明付ける上で最適な潜在因子を選定することは困難と言える。しかし、的中率の大小によって分級評価図上では十数画素程度の違いが現れることから、少なめに適地を抽出する場合には高い的中率を示す潜在因子を用い、逆の場合には低い的中率を示す潜在因子を用いるといったように評価者の柔軟な対応が必要となる。得られる分級評価図を現地へフィードバックすることによって評価者自らが、結果の妥当性を検証することが不可欠な要素となることは言うまでもない。

結論として潜在因子モデルでは数量化II類の信頼性を保ち、汎用性を持たせる上でケース1のように数量化III類を通じて選定される潜在因子の組合せを優先して採用することが適切であると言える。

4. まとめ 潜在因子モデルは、現実に得られる現象データ（衛星データや各種地理データ）をもとに、統計処理に従う一連の評価モデルである。このようなモデリングの方法は最も広く普及しているものであるが、得られる結果の解釈には十分に注意する必要がある。すなわち、複雑な問題に対しては非常に多くの仮定が必要になるし、曖昧な問題に対しては一意的なモデルで評価することには限界があり、現実のものとかけ離れた結果となる危険性を多分に含んでいるからである。今後はこのような曖昧性に対処するような数量化理論、例えばファジー理論を組み込んだ分級評価モデルの拡張を課題として考えている。

【参考文献】 1) CAROL A. JOHNSTON AND JOHN BONDE: Quantitative Analysis of Ecotones Using a Geographic Information System, Photo. Eng and Remote Sensing, Vol. 55, No. 11, PP. 1643~PP. 1647, 1989.

2) 大林成行、小島尚人、石原利信：衛星リモートセンシングデータを適用した分級評価支援システムに関する考察、土木学会第17回関東支部技術研究発表会講演概要集、PP. 254~PP. 255、1990年3月

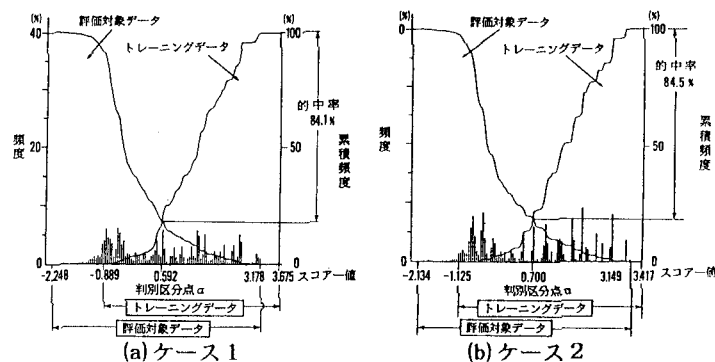


図-1 使用する潜在因子の違いに伴う的中率の比較  
(ミニマックス2群判別結果)

表-2 数量化II類の算出結果

潜在因子 (分級評価因数)	カテゴリ -数値	関根関係数 (レンジ)	潜在因子 (分級評価因数)	カテゴリ -数値	関根関係数 (レンジ)
溶岩流	0.190		標高	0~100	0.422
スコリア丘	-0.182		100~200	-0.082	0.114
火口	-0.034		200~300	-0.308	(0.730)
カルデラ	-0.506		300~400	-0.206	
緩斜面	-0.001	0.073	400~500	-0.188	
急斜面	0.123	(1.207)	500~	-0.240	
一般斜面	0.097		(以下-未満:m)		
人工改変地	-0.054		0~3	0.336	
堆積	-0.852		3~6	-0.037	0.055
洪積	0.085		6~9	-0.070	
礫	-0.018		9~12	-0.124	
玄武岩溶岩質	0.062		12~15	-0.199	
スパースースコア	0.049		15~20	-0.166	
降下火成灰	-0.017	0.043	20~25	-0.170	
砂、砾	-0.041	(3.002)	25~30	0.059	
礫	0.257		30~	0.401	
水道	-2.745		谷密度	0 (例)	-0.009
黒ボク土	0.432		1	-0.037	
相粒黒ボク土	0.132		2	0.048	0.018
人工改変地	-1.127	0.194	3	-0.076	(0.428)
岩石地	-0.046	(1.559)	4	-0.136	
薄層黒ボク土	-0.955		5	-0.380	
砂丘未熟土	-1.006		(以下-未満:m)		
火山噴出物未熟土	-0.087		クラス1	0.099	
北	0.018		クラス2	-0.436	
東	0.197		クラス3	-0.416	0.221
南	0.655		クラス4	0.277	(1.972)
西	0.575	0.090	クラス5	1.176	
斜面	0.393	(2.672)	クラス6	-0.065	
南東	-0.238		クラス7	0.357	
南西	0.041		クラス8	-0.323	
西北	0.013		クラス9	-0.195	
平地	2.659		外的基準	1.540	相対比
研究区	0.504		現状型設定法によるトランシングデータ (現況地図)		
3~8	0.050		評価対象地域 (現況地図区分)	-0.147	
8~15	-0.144	0.070			
15~20	-0.213	(0.927)			
20~30	-0.303				
30~	-0.423				